# 便携式汽车超重监测系统

刘建荣 孔力 叶林 (华中理工大学自控系 武汉 430074)

提要 本文介绍了一种便携式液压称重系统。由于其液压变换器对动载荷具有较好 的承受能力,且对于地基无任何特殊要求,特别适合于用作高等级公路的汽车超重 监测。

关键词 汽车超重监测 液压称重原理 单片机 数据处理

## A Portable Checking System of the Truck Overbalance

Liu Jianrong Kong Li Ye Lin
(HUAZHONG UNIVERSITY OF SCIENCE AND TECHNOLOGY, WUHAN)

Abstract The paper presents a portable hydraulic weighing system. Since the hydraulic converter has a good capacity of dynamic load and has no any special demand on foundation, it particularly suits for overbalance checking of trucks in high-type road.

Key words Truck overbalance checking Principle of hydraulic weighing
Single-chip processor Data process

### 0 前言

由于高速公路、桥梁的建造和维修费用昂贵及其运输负荷的迅猛增加,如何确保公路及桥梁的安全与维护,已成为一个日益引起重视的问题。重型车辆的轴荷载是道路损坏的主要影响因素,因而,监视和检查车辆的载重情况,对于高等级公路系统的监护和技术管理十分重要,这种客观需要促进了汽车动态称量设备的研究与发展。

目前已得到广泛应用的无基坑电子汽车衡,采用了悬臂梁式称重传感器,其高度尺寸有了明显的减低,用一个不长的引导斜坡就能使汽车从上面顺利通过,与带基坑的汽车衡相比,无疑是前进了一大步。但是,作为公路监护之用仍不理想。因为其整体结构大,不能由公路管理人员随意挪动;它仍然需要建造专门的基础平台,4个称重传感器的底座平板需装地基螺栓,还有等高偏差、中心距对角线偏差等安装要求,否则无法发挥其精度较高的优势,因而也就不能随处移动。研究一种能由公路管理人员随车携带、就地使用的汽车动态称重系统实有必要。

#### 1 工作原理及系统结构特征

液压式称重系统的主体为一具有弹性表面的密封容器,待称重量加在弹性表面上,弹性

表面产生微量变形,从而改变了容器内液体的压力。此压力与待称重量成正比,通过压力传感器测出液体压力的变化,即可获得待称重量的信息 本称重系统的信息流程如图 1。



图 1 称重系统工作原理

由上述工作原理可以看出,实现液压原理称重的关键是液压式变换器的设计。要求其可变形的弹性表面既要在垂直方向上有很高的灵敏度、又要在水平方向上有较大的刚度,而且

有足够的耐压强度和疲劳寿命。综上考虑、有两种弹性元件可供选择:一种是盘绕状的弹性软管,一种是大硬芯膜片或单圈设管。本方案采用了后者。每个液压式单圈波纹管并联组成,两波压式变管并联组成,两波相连,底部有液路相连,底部有液路相等,因而每个液体压力相等。因而每个液体压力传感器。由于液体传递压力的各向同性,此压力传感器。由于液体安憩压力的有一个受任何限制。共结构示意图见图 2。图中限位板的作用是承受汽车过程中产生的水平分力和侧倾力矩。

设两波纹管的有效面积为 2S,汽车轮重为 Q。在 Q 的作用下,密封的液体压力变化为  $\Delta p$ ,达到平衡状态时,由于液体的不可压缩性,承载板的位移极小,因而可将波纹管的有效面积视为常量,于是有:

$$\Delta p \cdot 2S = Q = K \cdot \Delta p \tag{1}$$

即压力增量  $\Delta p$  与 Q 成正比。此压力变化量由压力传感器测得,作为汽车轮重的一组采样值。利用微机系统采集动态压力变化过程,经数据处理得到对应轮重。

图 3 为称重系统示意图。1、2 为两 个相互独立的液压式变换器,它们之间

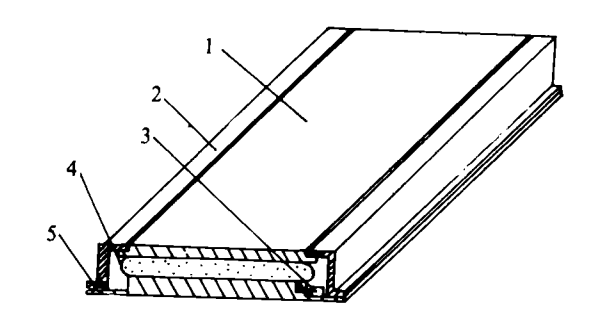


图 2 液压式变换器结构
1. 承载板 2. 限位板 3. 压力传感器 4. 内部充满液体的单圈波纹管 5. 变换器底座

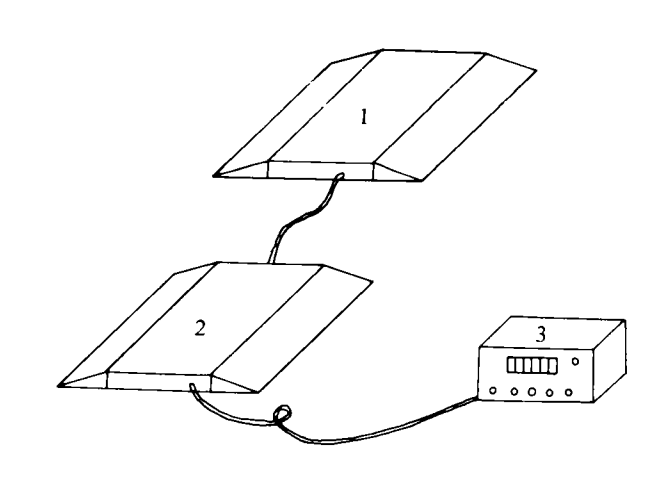


图 3 称重系统示意图

只有电气上的联系,3为以8098单片机为核心的测量仪。使用时,1和2平放在所选定的路段,其间距与汽车的左、右轮间的距离相适应,分别对汽车左、右轮的重力进行检测,其数据由测量仪采集、处理,待汽车驶离称重系统时,即可获得整车总重。整车重量用数字显示,

超重时进行声、光报警。

#### 2 测量仪的组成

本测量仪选用 Intel 公司 1988 年推出的准 16 位 8098 单片微型计算机作为核心元件,配以程序存储器、数据存储器、键盘及数码管组成系统。其 232 字节的寄存器阵列用作数据预处理及显示缓冲区;高速输入输出口用作键盘和数码管的动态扫描;带采样保持电路的 4 通道 10 位 A/D 转换器,可以方便地组成有 4 路数据输入的系统,本系统只占用了 2 个通道,用于两个液压式变换器的数据采集,其系统框图示于图 4。采用 12MHz 晶振时,8098 完成一次A/D 转换的时间仅需 22 微秒,足以满足整个动态过程数据采集的要求。

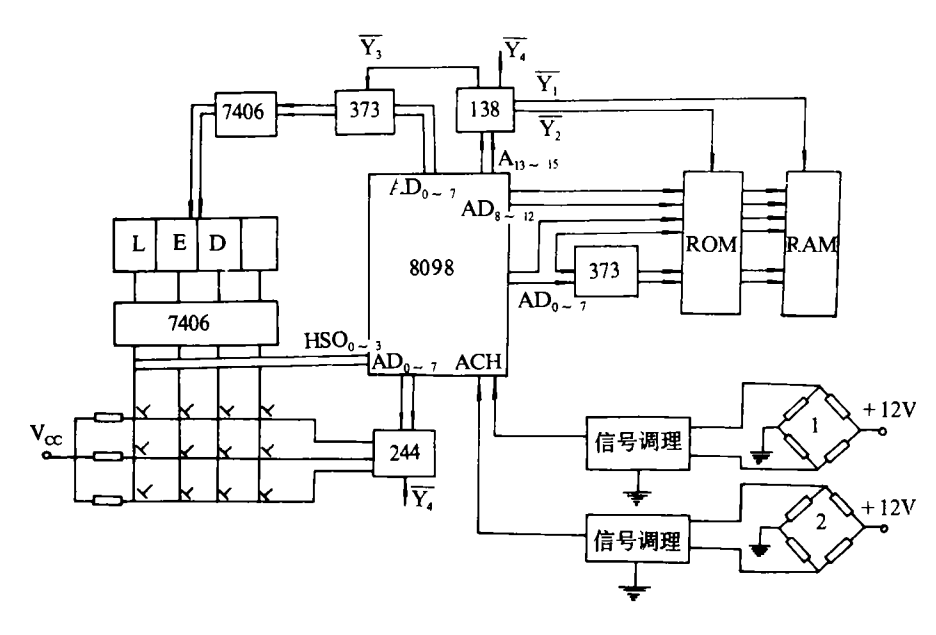


图 4 测量仪电路框图

测量仪的工作过程是:系统上电后,首先进行自检,然后进入查询等待。当车轮压上液压变换器时,液体压力开始上升,压力传感器的输出电压值亦开始上升,当此电压超过某一个预先设置的门限电压后,认为是车轮已经压上,立即开始动态采样过程。取1毫秒为一个数据的采样周期,可以多次采样取均值得到一个有效数据。对左、右两变换器轮流采样,直至车轮离开,信号电压降至门限值以下时结束采样过程,紧接着进入数据处理运算,并在第二根轮轴开始称重以前完成运算过程,将运算结果送至指定的数据缓冲区暂存,每根轮轴对应一组运算结果。车轴数和超载报警值已预先通过键盘设置,当达到预置的车轴数后,即将几组运算结果相加,得到车辆的整体总重,送数码管显示,超载时有声、光警示。如有需要可增加打印输出。

#### 3 加载特性曲线的分析及实测

图 5 (a) 为车轮行驶过程中液压变换器的受力状况。车轮对承载板的作用力有重力 Q 和水平摩擦力 F,F 由限位板的支反力所平衡,Q 则引起液体压力 p 的变化,压力 p 通过波纹管的有效面积,产生液压支反力 p • S 与 Q 相平衡。但是,液压力 p • S = Q 只适用于 Q 作用在变换器中心位置时的情况,当重力 Q 偏离变换器中心时,由于 Q 和 p • S 不在同一直线上,

还会形成侧倾力矩 M,造成称重过程中液体压力的波动。

当车轮位于变换器的左半部分时,M 为逆时针方向,承载板将在 B 点与限位板接触,形成以 B 为支点的平衡力系。由  $\sum M_B=0$ ,得到:

$$(2l-x)$$
 ・ $Q=p$ ・ $S$ ・ $l$  (2)  
于是有: 当 $x=0$  时、 $p=\frac{2Q}{S}$   
当 $x=l$  时、 $p=\frac{Q}{S}$ 

当车轮运动到变换器的右半部分时,M 为顺时针方向,承载板将在 A 点与限位板接触,形成以 A 为支点的平衡力系。由  $\sum M_A=0$ ,得到:

$$x \cdot Q = p \cdot S \cdot l$$
 (3)  
于是有: 当  $x = l$  时,  $p = \frac{Q}{S}$   
当  $x = 2l$  时,  $p = \frac{2Q}{S}$ 

综上所述,液体压力在整个称重过程中的变化规律

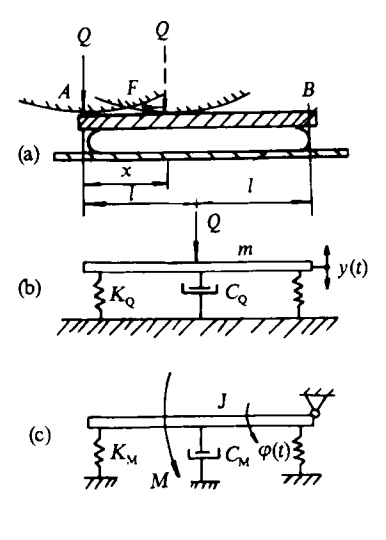


图 5 受力与模型分析

是 $\frac{2Q}{S} \rightarrow \frac{Q}{S} \rightarrow \frac{2Q}{S}$ ,相当于一个恒力 Q 和一个按直线规律变化的力矩 M 的共同作用,见图 6 (a) (b)。Q 力的加载、卸载过程为典型的阶跃作用力,其表达式为

$$q(t) = \begin{cases} 0 & t < 0, \ t > t_0 \\ Q & t \ge 0, \ t < t_0 \end{cases}$$
(4)

设汽车在通过液压变换器时为等速运动, $v=2l/t_0$ ,则有:

$$m(t) = Q \cdot l - Q \cdot v \cdot t = Q \cdot l - \frac{2Ql}{t_0} \cdot t$$
 (5)

由式 (5) 可知, 力矩 M 具有斜坡函数输入特性。

图 5 (b) 和 (c) 分别为在 Q 和 M 作用下变换器的系统模型。 $K_Q$  和  $K_M$  分别为系统的垂直位移刚度和转动位移刚度, $C_Q$  和  $C_M$  分别为运动阻尼,m 和 J 分别为等效质量和等效转动惯量,y(t) 和  $\varphi(t)$  分别为垂直位移和转动角度。由于液压系统通常具有弱阻尼特性,其阻尼比  $\zeta < 1$ ,因而,液压变换器在阶跃力 Q 和斜坡函数力矩 M 的作用下,其动态响应为:

$$y(t) = \frac{Q}{K_Q} \left[ 1 - \frac{e^{-\zeta \omega_n t}}{\sqrt{1 - \zeta^2}} \cos(\omega_d t - \psi) \right]$$

$$\vec{\Xi} + : \omega_n = \sqrt{\frac{K_Q}{m}}; \ \omega_d = \omega_n \sqrt{1 - \zeta^2}; \ \zeta = \frac{C_Q}{2\sqrt{mK_Q}}; \ \psi = tg^{-1} \frac{\zeta}{\sqrt{1 - \zeta^2}}$$

$$\varphi(t) = Q \left( t - \frac{2\zeta}{\omega_n} + \frac{e^{-\zeta \omega_n t}}{\omega_n \sqrt{1 - \zeta^2}} \sin(\omega_d t + tg^{-1} \frac{2\zeta\sqrt{1 - \zeta^2}}{2\zeta^2 - 1}) \right)$$

$$\vec{\Xi} + : \omega_n = \sqrt{\frac{K_n}{J}}; \ \omega_d = \omega_n \sqrt{1 - \zeta^2}; \ \zeta = \frac{C_M}{2\sqrt{JK_M}}$$

$$(6)$$

根据式(5)和式(6)得的系统响应曲线示于图 6(c)。两曲线叠加,得到系统的理论响应曲线。该理论曲线有两个特征:一个特征是呈马鞍形,有明显的中部下凹区;另一个特征

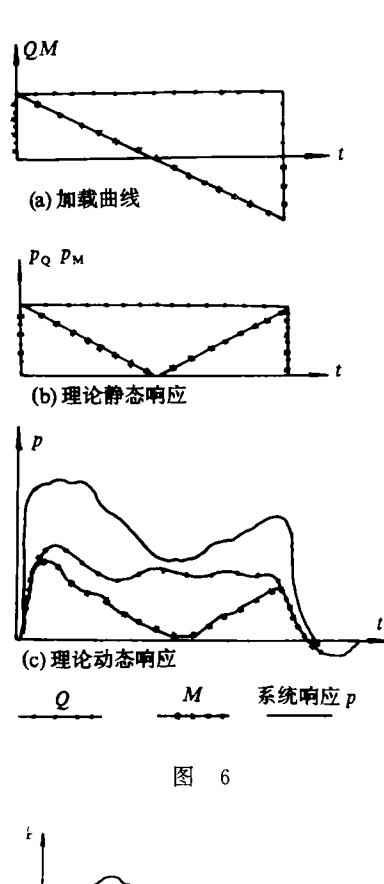


图 6

5×10<sup>2</sup> 1×10<sup>3</sup> 1.5×10<sup>3</sup> ms

图 7 实测响应曲线

是右侧低于左侧,亦即加载过程的超调量较卸载过程的超调量大。

为探求液压式变换器的实际响应特性,将测量仪中8098单片机的串行口通过开发装置与PC机进行联机通讯,进行数据的实时采集与处理,通过PC机的CRT绘出的实测曲线示于图7。在合理的运动速度下,曲线有很好的一致性。将实测曲线和理论分析曲线相比较,其马鞍形不如理论曲线明显,但仍然清析地具有上述两个特征。说明了理论分析比较切合实际,给数据处理提供了依据。

#### 4 结论

- (1)由于液体传递压力的各向同性,使液压式 称重系统结构简单,对地基无特殊要求,特别适合 于便携式称重场合。
- (2) 由于系统中不存在任何运动部件以及液体的缓冲吸收作用,使液压式称重系统能较好地适应动态称重的环境。
- (3) 受膜片式压力传感器精度 (0.2%~0.5%) 和 8098 单片机 10 位 A/D 转换精度的限制,以及动态称重过程中各种干扰的影响,液压式称重系统不易达到较高的准确度等级。
- (4)作为道路管理中对车辆的超载监视,液压称重系统具有足够的可信性。在动态称量过程中发现某车辆超载后,为对其超载情况作准确判断,可以适当降低车速再进行一次准静态称量,其精度可达 1%以内。

#### 参考文献

- 1 应变式传感器在汽车行业中的应用.传感器技术,1990年4期.
- 2 坚实而轻巧的车辆称重系统. 传感器应用技术, 1986 年第1期.
- 3 施汉谦,宋文敏.电子秤技术.中国计量出版社,1989.
- 4 刘庆普,沈允春译、信号分析与处理、宇航出版社,1991.